

[Redacted]

[Redacted]

[Redacted]

[Redacted]

[Redacted]

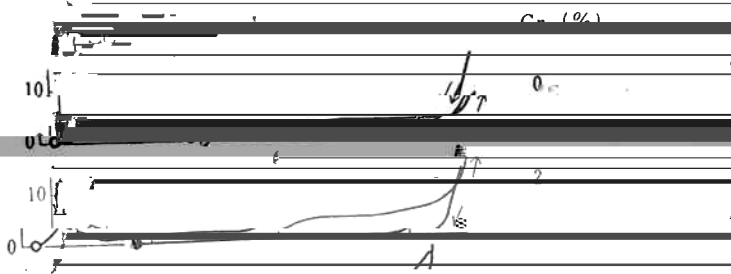
[Redacted]

[Redacted]

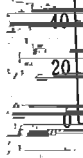
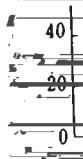
[Redacted]

(7) In the acid solution, the formation of the

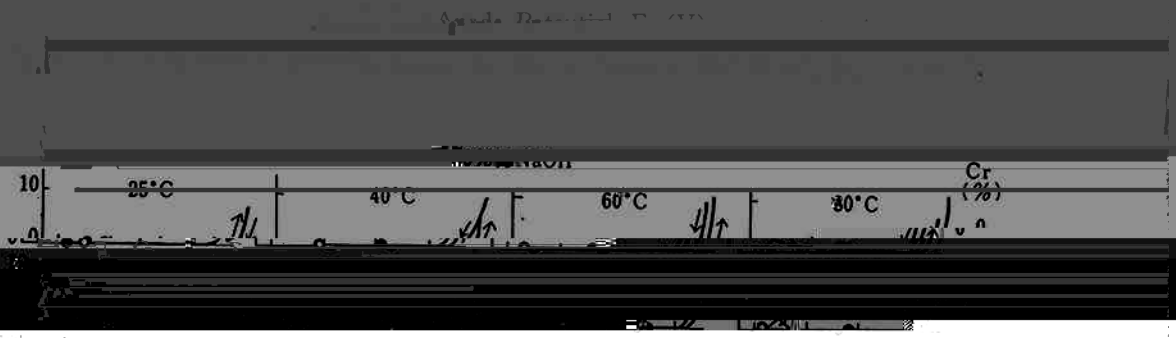
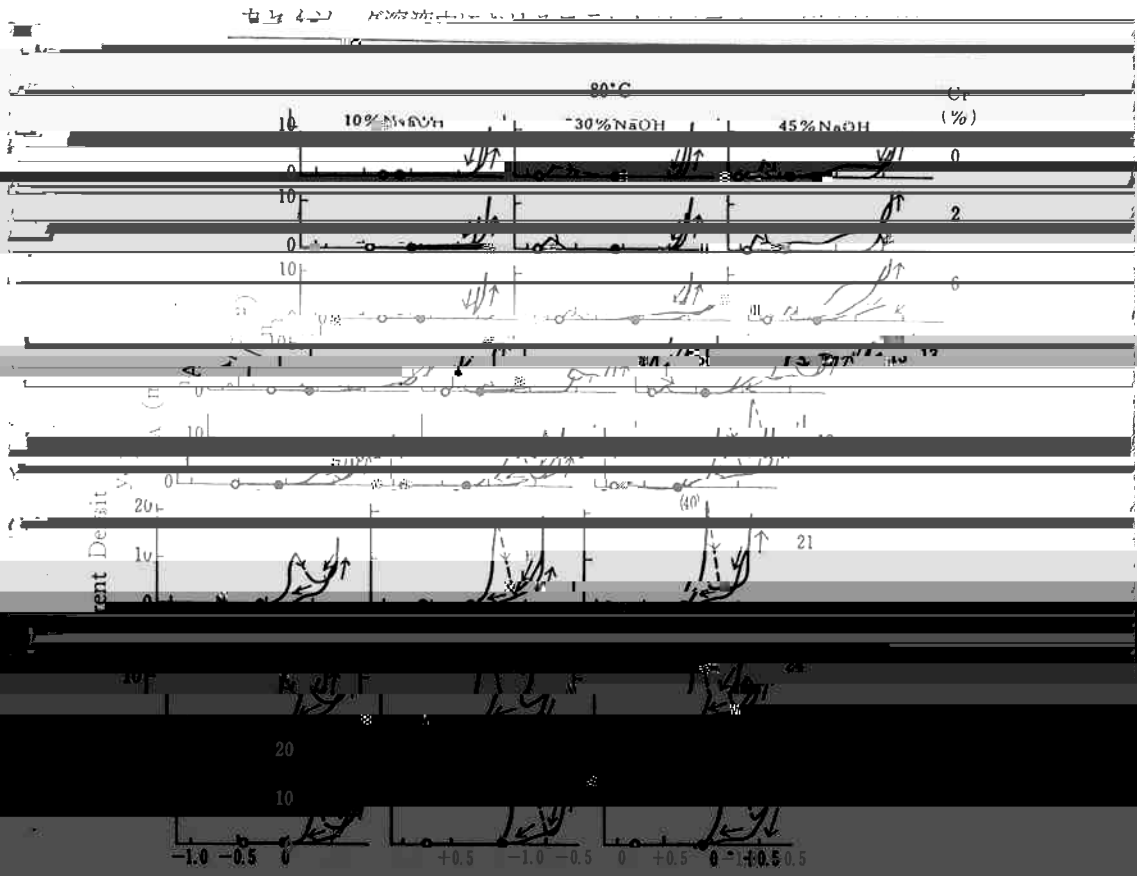
dissolution of the alloys. A similar relation temperature.



2) 実験で得られた結果が濃度および温度の影響



これは Fig. 2 のごとくである。このうち 4%



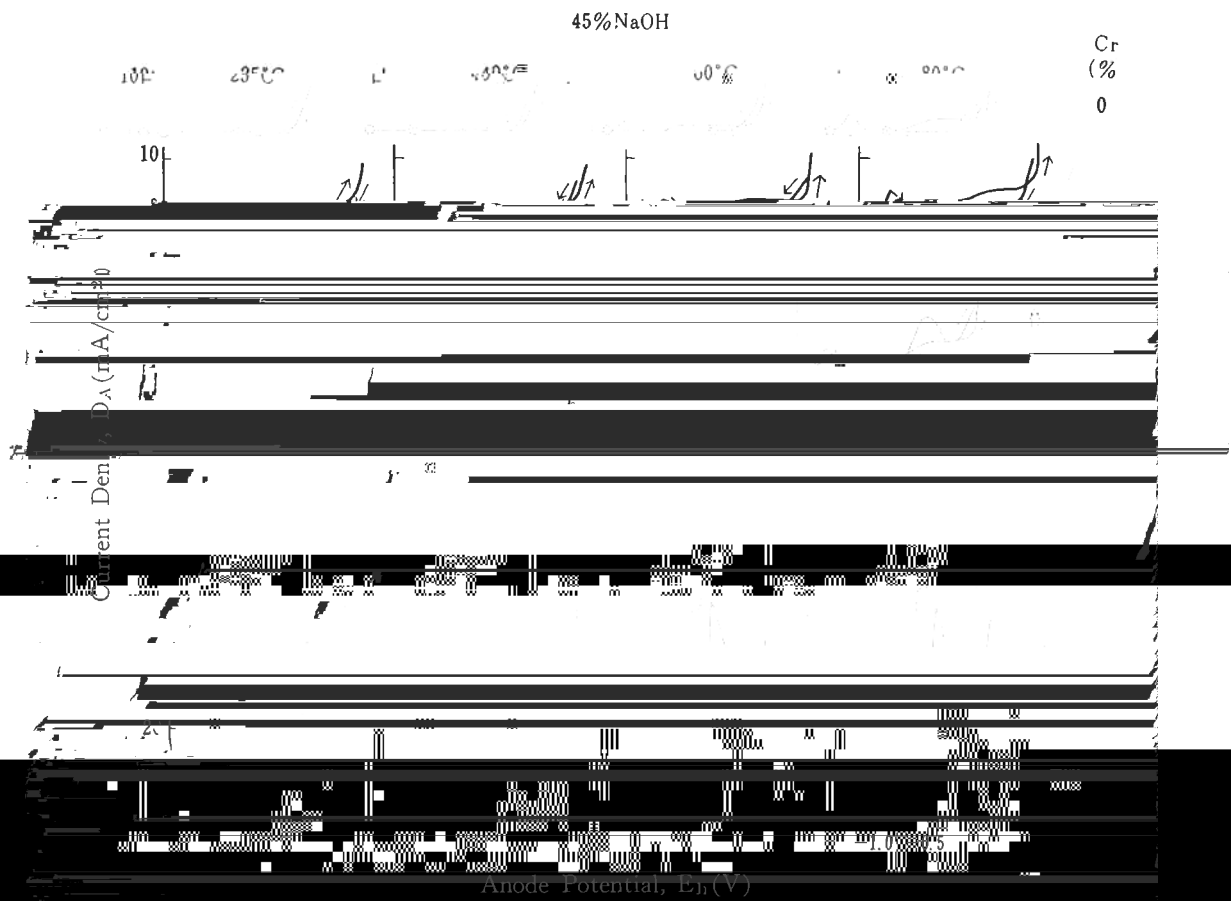
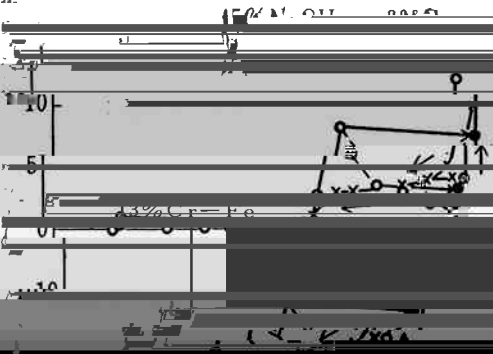
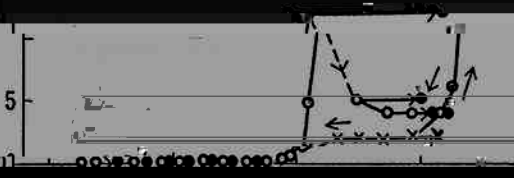


Fig. 4 Current Density-Anode Potential curves for Fe-Cr alloys in 45% NaOH





24% Cr-Fe



これから次のことがわかる。

(1) 190°C, Δ \rightarrow \square \rightarrow \triangle \rightarrow \circ \rightarrow \times \rightarrow \bullet

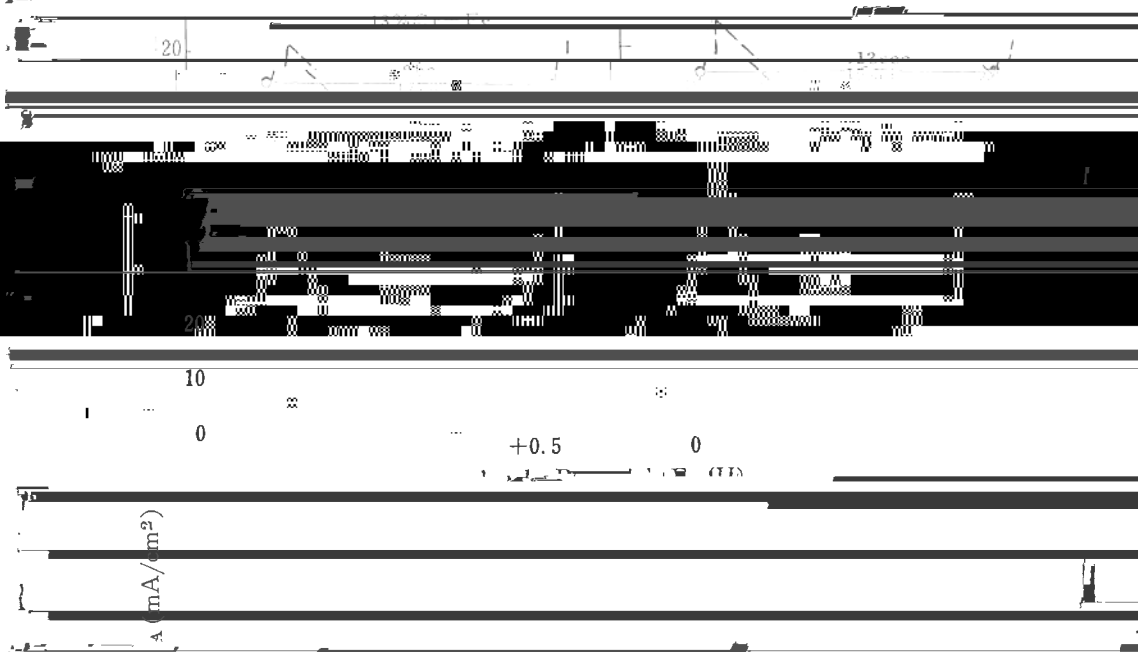


Fig. 9 Change of passivation time by initial current density in 45% NaOH solution.



Fig. 10 Log I-log T curves for

カドミウム 硫酸溶液中の電位測定による電位-電流特性の測定

